

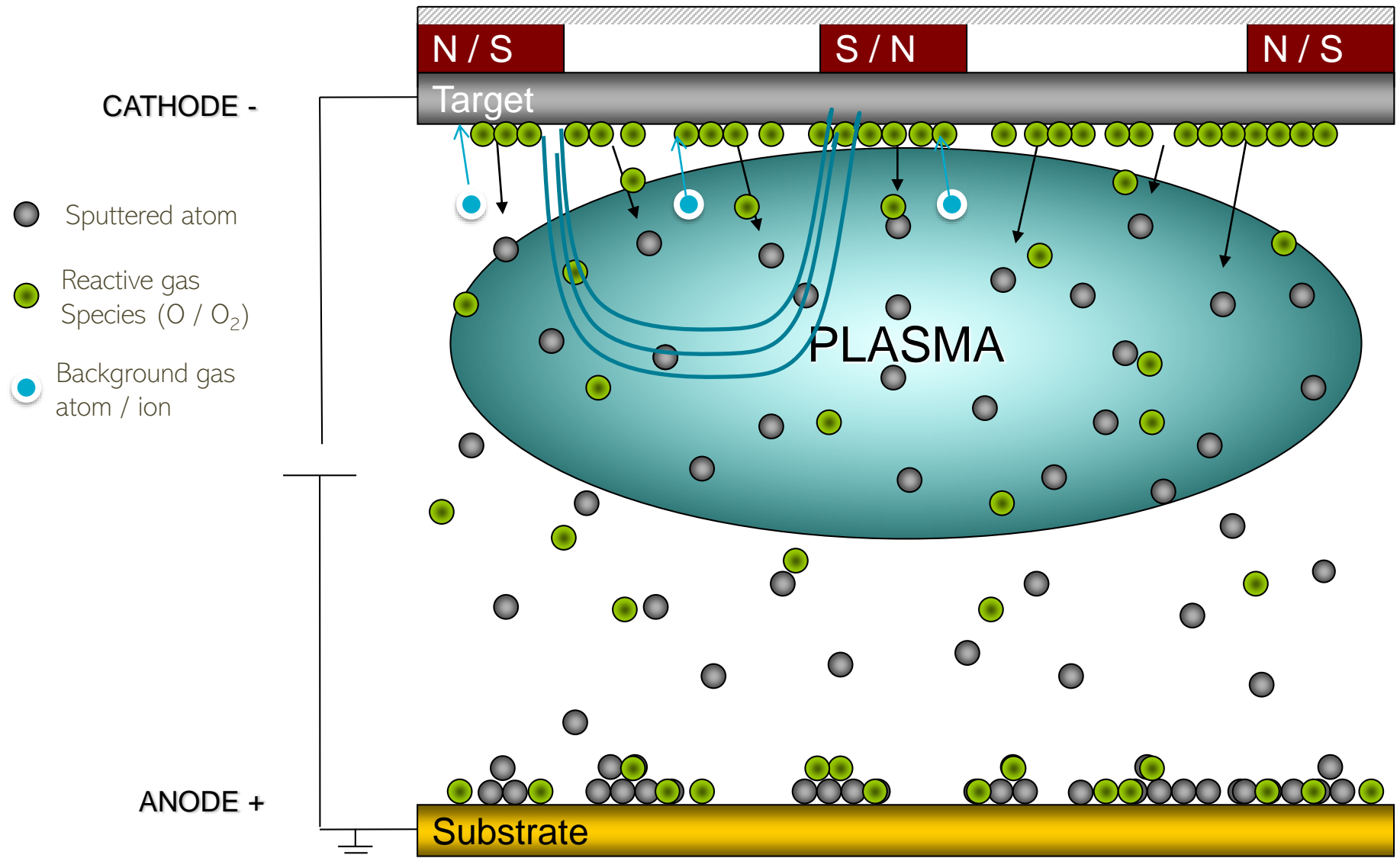
Quelle alimentation pour quel plasma ?

Pulvérisation cathodique en régime
d'impulsion de haute puissance (HiPIMS)

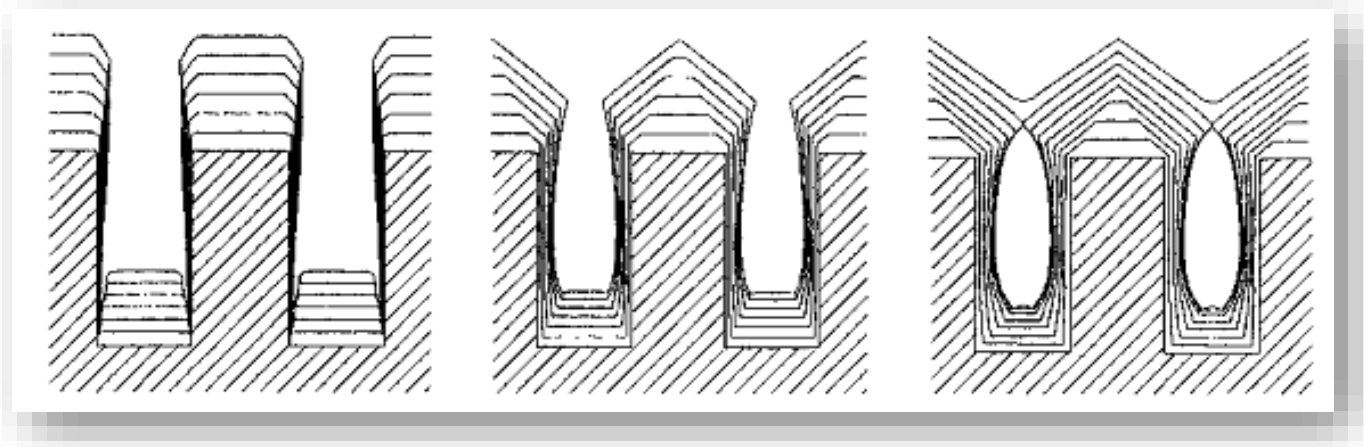
Table des matières

- Pourquoi l'HiPIMS ?
- Comment générer des impulsions de haute puissance ?
- Relation paramètres de l'alimentation – chimie du plasma
 - Ionisation des atomes métalliques
 - Dynamique des espèces
 - Énergie des atomes pulvérisés
 - Croissance de films minces

La pulvérisation cathodique magnétron pour le dépôt de couches minces



Pulvérisation en régime DC



S. Hamaguchi and S. M. Rosnagel, J. Vac. Sci. Technol. 1996.

A black and white close-up photograph of a woman's face. She has a frustrated or angry expression, with furrowed brows and a slightly downturned mouth. Her hair is styled in a classic, voluminous fashion. The background is a plain, light color.

...problème !

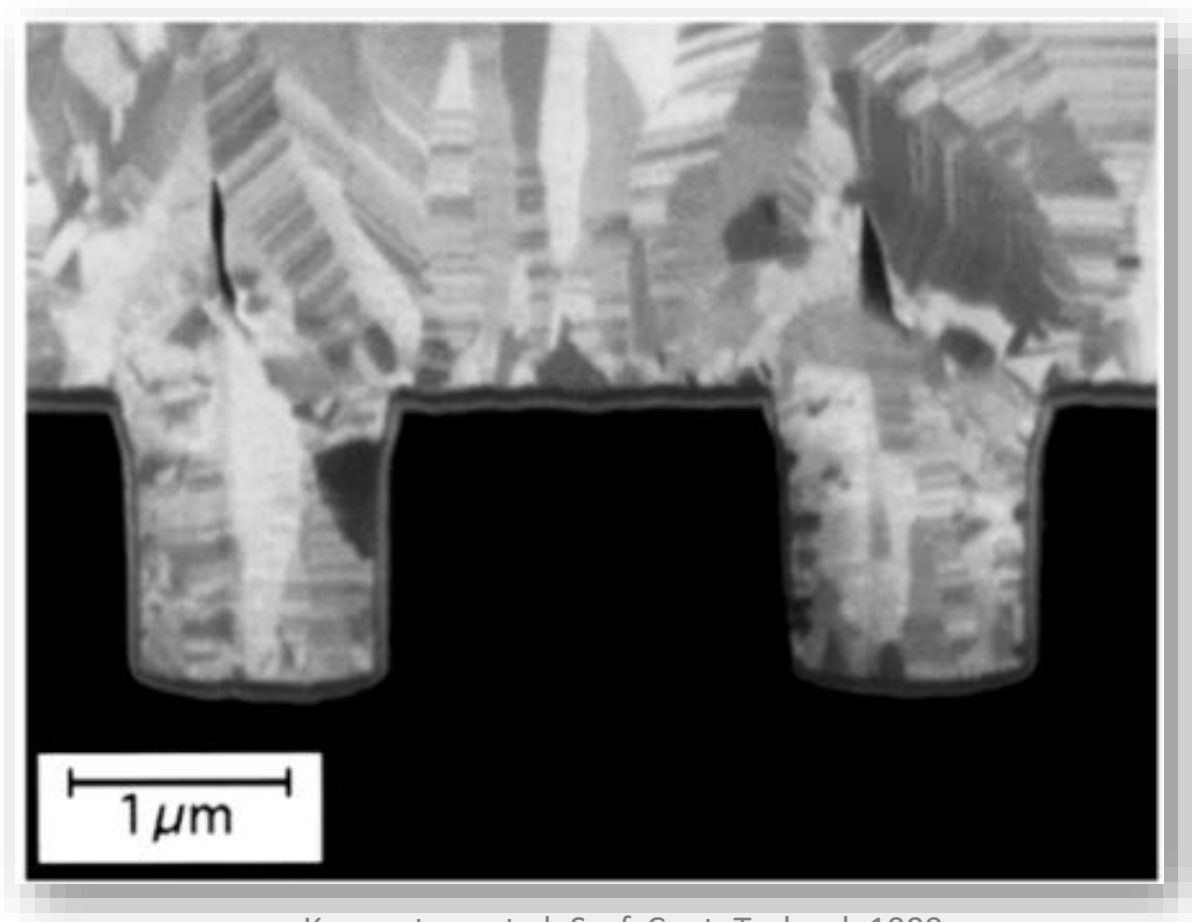
La solution :
Ioniser les atomes
métalliques



Pourquoi l'HiPIMS ?

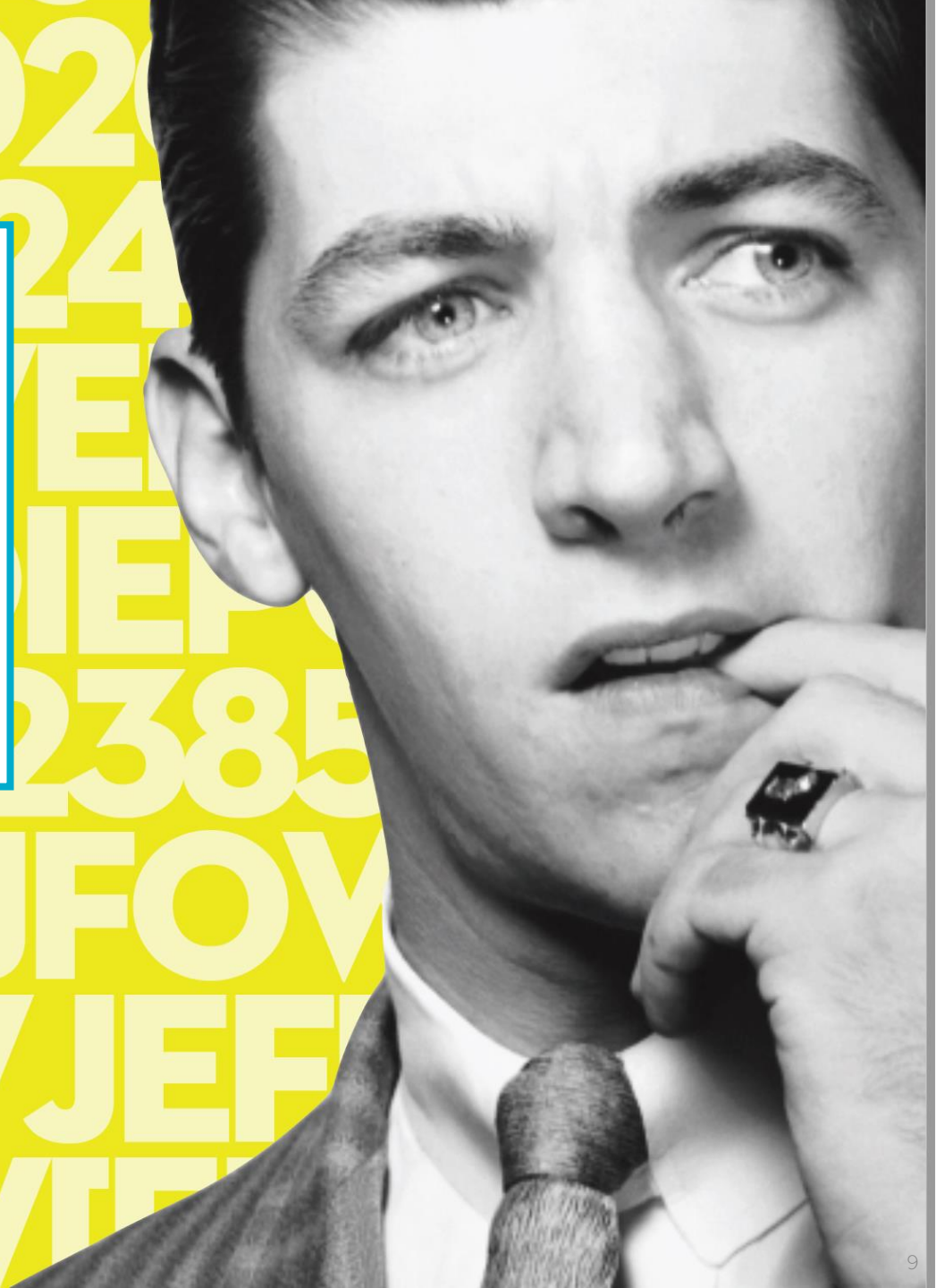
⇒ Augmenter **l'ionisation** de la vapeur métallique

1. Via la polarisation du substrat : contrôler **l'énergie cinétique** des espèces qui participent à la croissance du film
 - Cristallinité, micro/nanostructure, rugosité,... sont modifiés
2. Contrôler la **trajectoire** des espèces qui participent à la croissance du film
 - Dépôt conforme

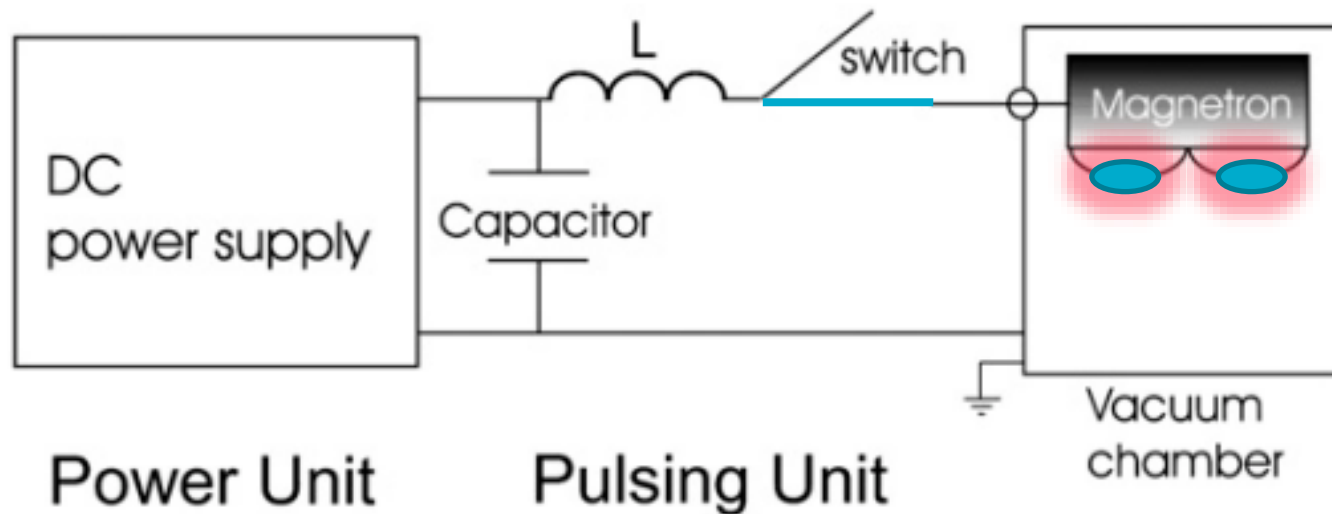


Kouznetsov et al, Surf. Coat. Technol. 1999

**Comment
faire ?**



Architecture d'une alim HiPIMS

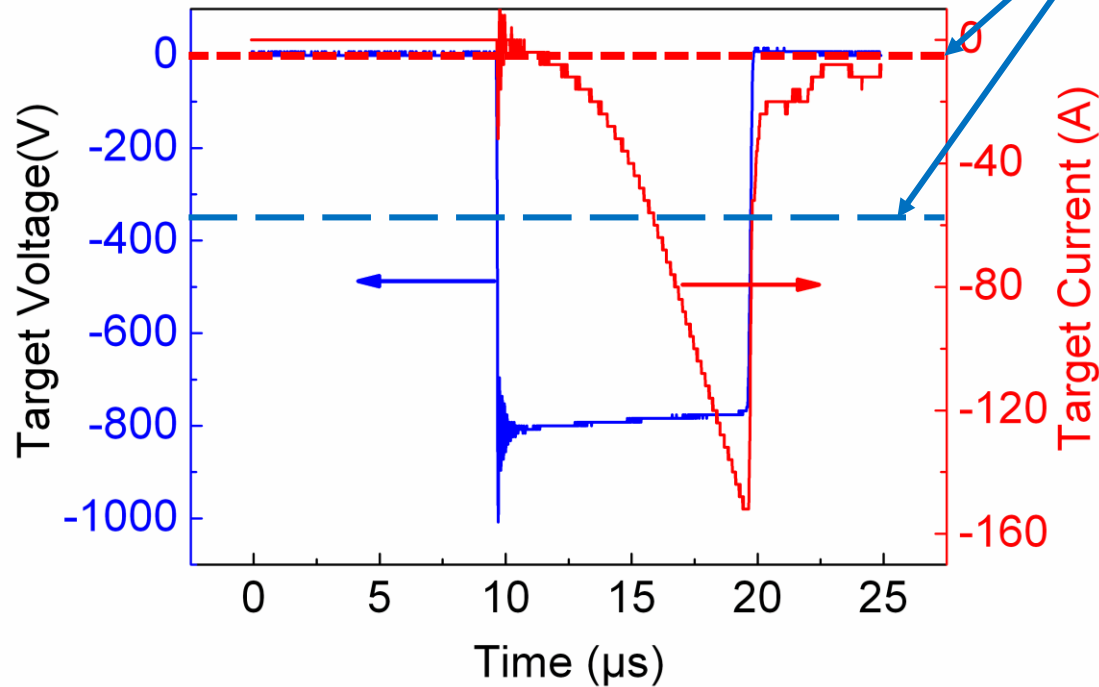


Alimentation capable de délivrer

- Tension de 1 – 2 kV
- Courant pic de plusieurs 10-100aines d'A

Courbes I-V(t) typiques

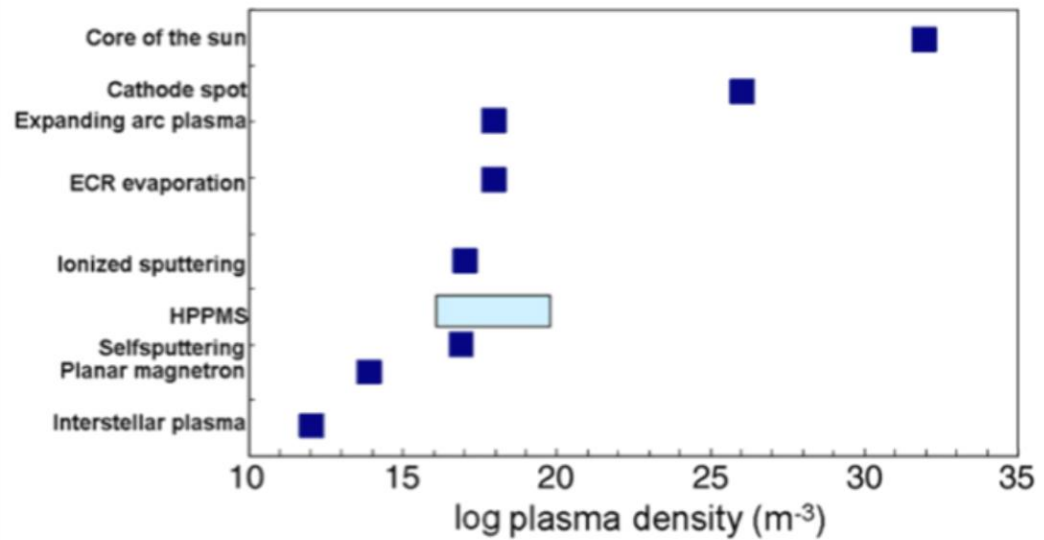
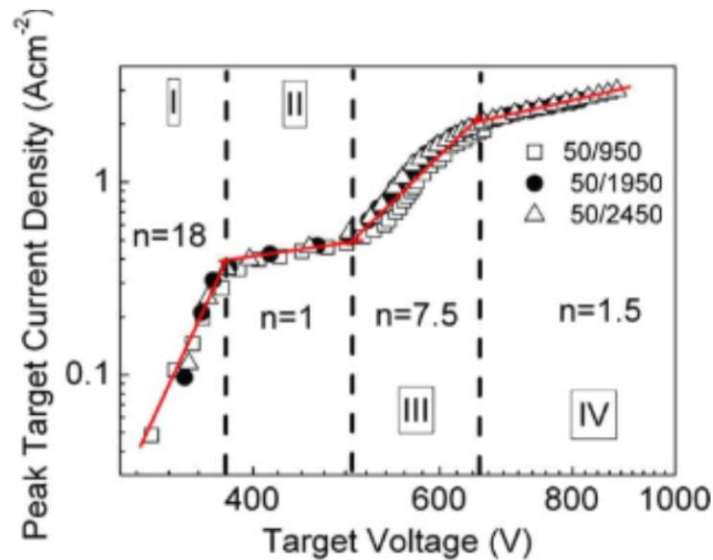
Valeurs en DCMS



Vers une définition de l'HiPIMS

1. **Impulsions** électriques
 1. Duty cycle $\leq 1\%$
2. Cathode **magnétron**
 1. Décharge dans champs ExB
3. **Haute puissance/courant crête**
 1. $\sim \text{kW}$ ou A cm^{-2}
 2. $\Rightarrow N_e \sim 10^{12-13} \text{ cm}^{-3}$
4. **Ionisation** importante du matériau à déposer

L'HiPIMS et les autres technique PVD



Alami et al, Appl. Phys. Lett. 2006

Alami. PhD Thesis, Linköping University, 2005.

Plusieurs approches de l'HiPIMS

- Différentes durées d'impulsion
- Variation & Options ajoutées

Différentes approches de l'HiPIMS

1. « Classique » (50 – 200 μ s)
2. Impulsions courtes (1 – 20 μ s)
3. Impulsions longues (200 – 400 μ s)
4. Impulsions XL (400 – 4000 μ s)

« Classic » HiPIMS (50 – 200 μ s)

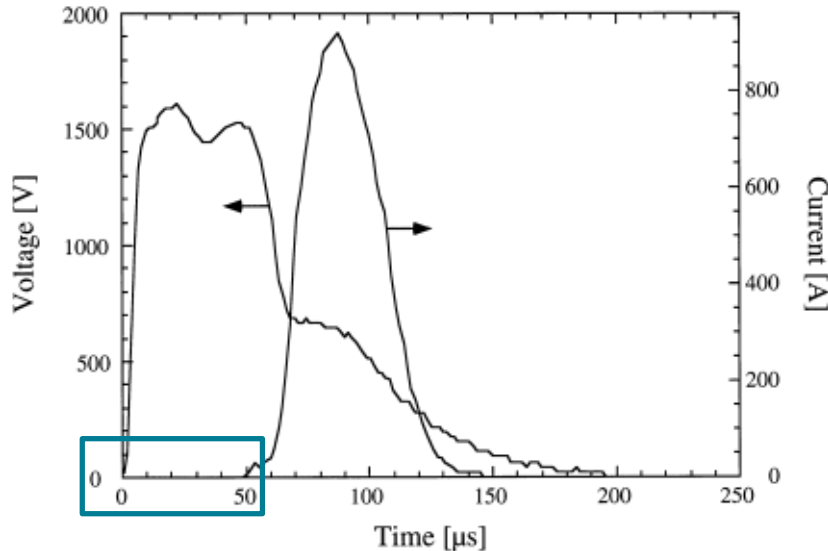
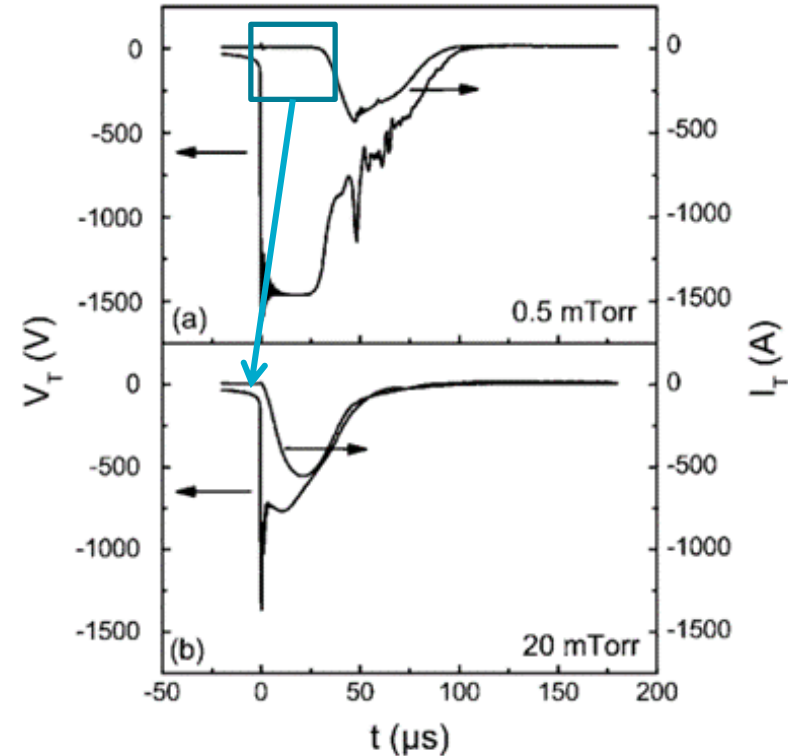


Fig. 1. A typical voltage and current time trace for the high power pulsed discharge. A Cu cathode was used and the sputtering gas, Ar, was maintained at 0.065 Pa (0.5 mTorr). The maximum error in the time adjustment between the two traces are estimated to 10 μ s.

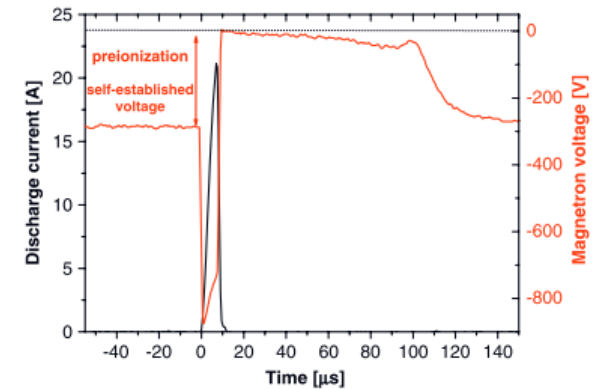
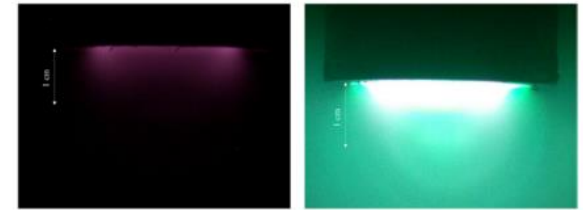


- [1] Kouznetsov, Macak, Schneider, Helmersson, Petrov, Surf. Coat. Technol. 1999
- [2] Konstantinidis, Thesis, 2004
- [3] Alami, Gudmundsson, Bohlmark, Birch, Plasma Sources Sci. Technol. 2005

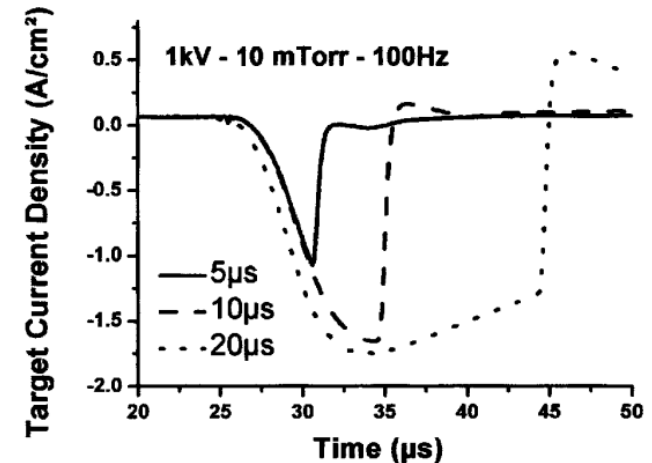
Impulsions courtes (1 – 20 μ s)

Préionisation du gaz [1, 2]

- Tension DC (qqes mA)
- Plasma secondaire RF ou μ W
- Accroître la fréq de répétition des impulsions (>500Hz)



Vasina, et al, Plasma Sour. Sci. Technol. 2007.

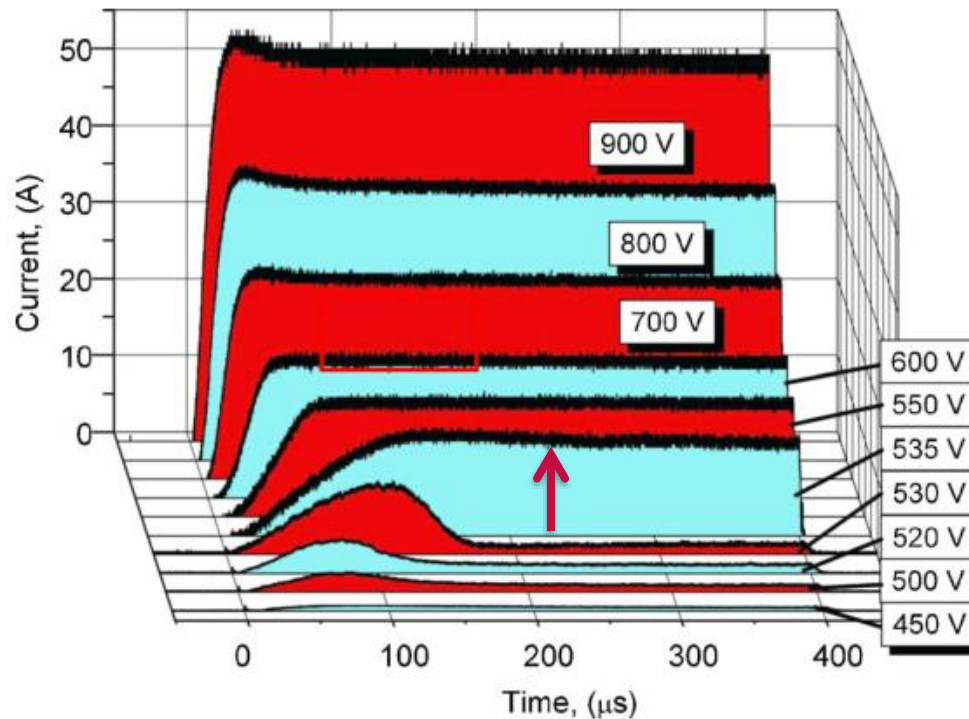


Konstantinidis et al, J. Appl. Phys. 2006

[1] Ganciu, Konstantinidis, et al, J. Opt. Adv. Mat. 2005.

[2] Konstantinidis, PhD Thesis, 2004

Impulsions longues (200 – 400 μ s)



Anders, Andersson, Ehiasarian, J. Appl. Phys. 2007

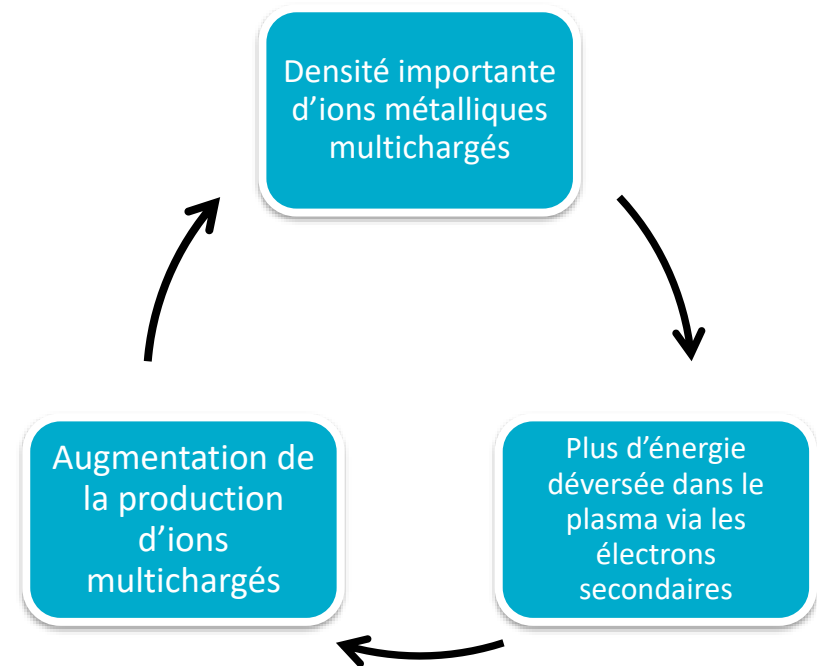
Self-sputtering runaway

Possible si $\alpha\beta\gamma_{ss} > 1$

- α probabilité qu'un atome pulvérisé soit ionisé,
- β probabilité que l'ion métallique retourne à la cible
- γ_{ss} est le rendement d'auto pulvé
 - Haute puissance + long pulses pour atteindre ce régime

Ions métalliques multichargés sont importants

- Augmentation de l'émission d'électrons secondaires (émission cinétique)



Pulses X-Large (400 – 4000 μ s)

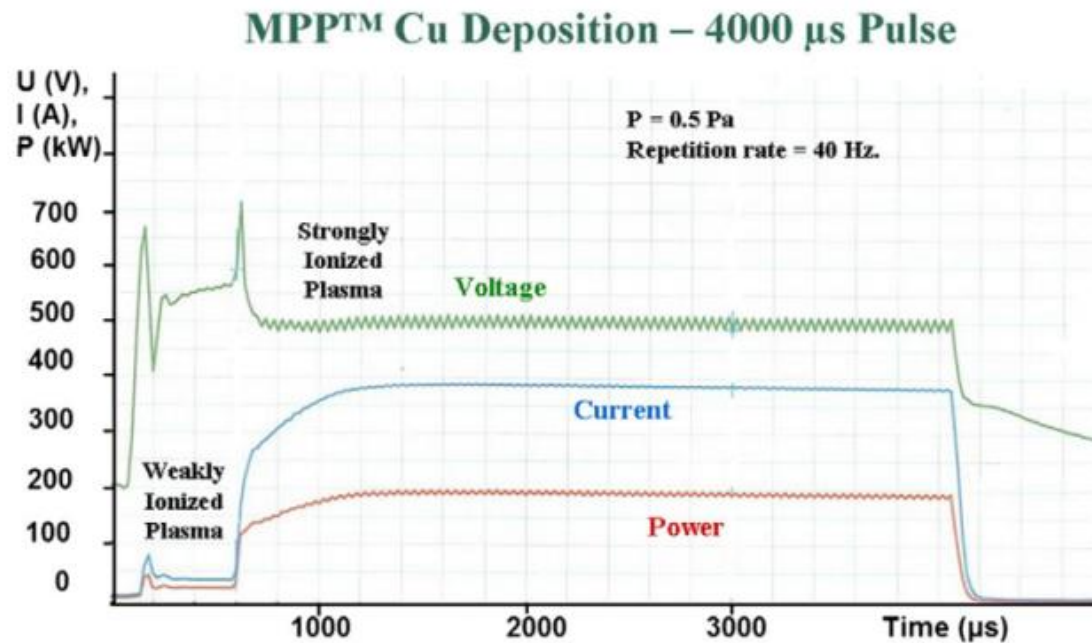


Fig. 8. Target voltage and current waveforms during the long-pulse operation. In the first 500 μ s a weakly ionized plasma is generated which is followed by a highly ionized steady-state plasma (reprinted from [54] after permission, Society of Vacuum Coaters © 2007).

Chistyakov, Abraham, Sproul, Moore, Lin, SVC 2007.

Variations :

1. HiPIMS avec DC superposé

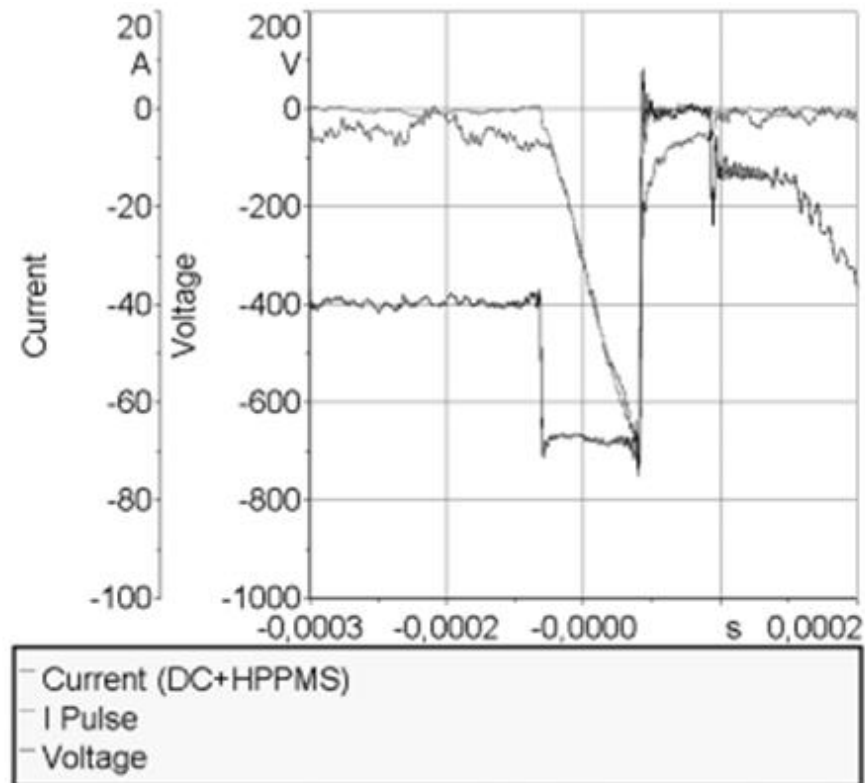


Figure 4: HPPMS for titanium sputtering; t_{on} : $90\mu s$, t_{off} : $2190\mu s$, U_{HPPMS} : $680V$, $1kW$ supplying the pulse unit, $1.0kW$ dc power superimposed, UDC : $390V$.

Variations :

2. HiPIMS avec MF superposé

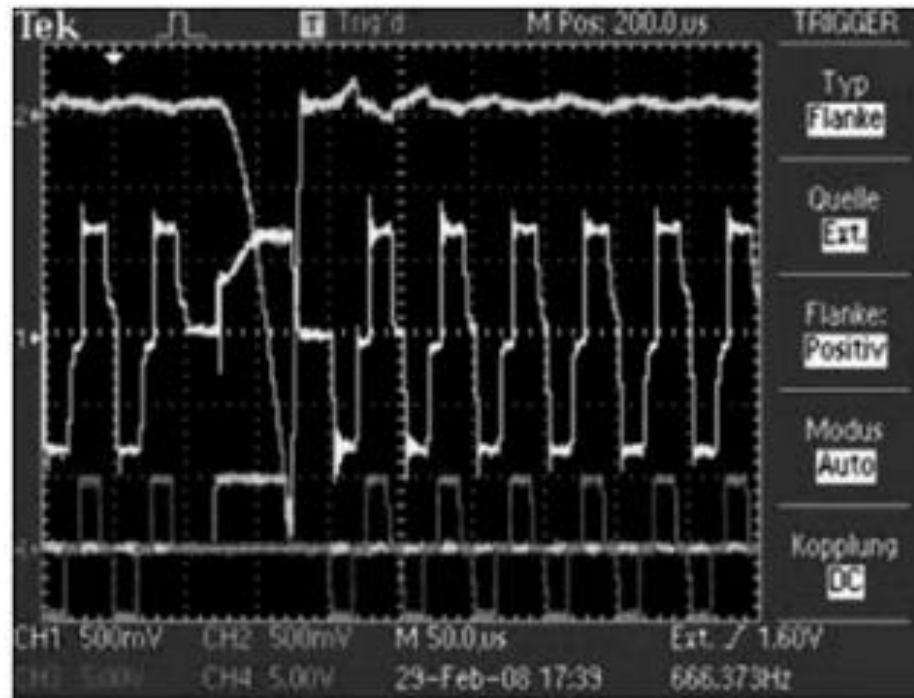
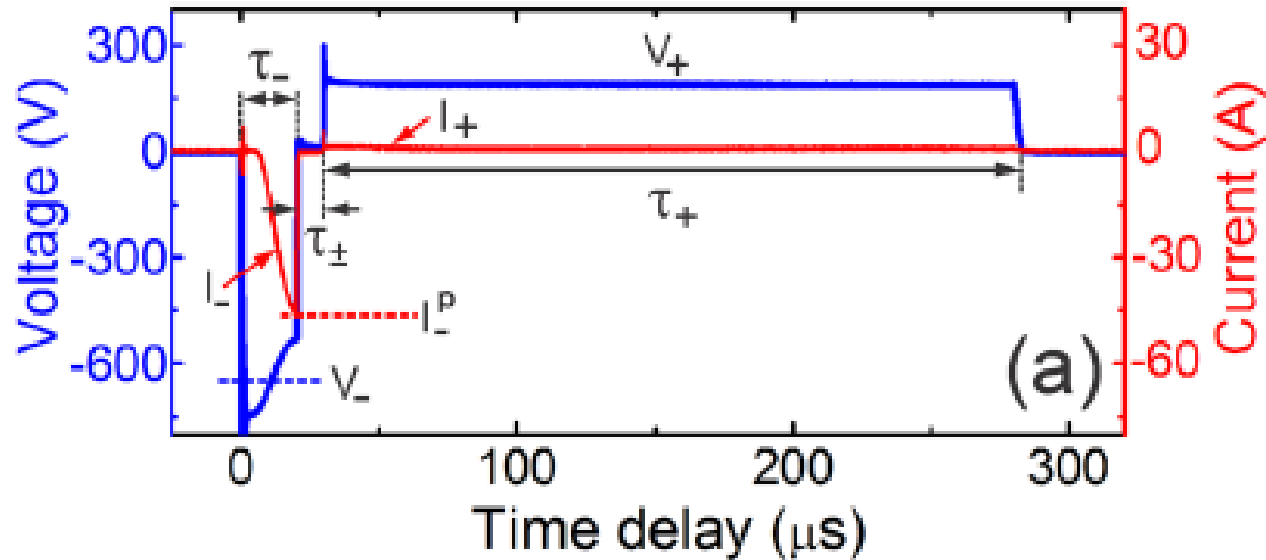


Figure 5: Screenshot of the pulse forms. Top: target current 300A; mid: target voltage 375V; bottom: control pulses. The length and the frequency of the HiPIMS pulse was 50μsec and 666Hz, respectively, the MF-frequency was 20.0 kHz.

Vergöhl, Werner, Bruns, Wallendorf, Mark, SVC 2008.

Variations:

3. HiPIMS bipolaire



Britun, Michiels, Godfroid, Snyders, Appl. Phys. Lett. (2018).

Options: Suppresseur d'arcs

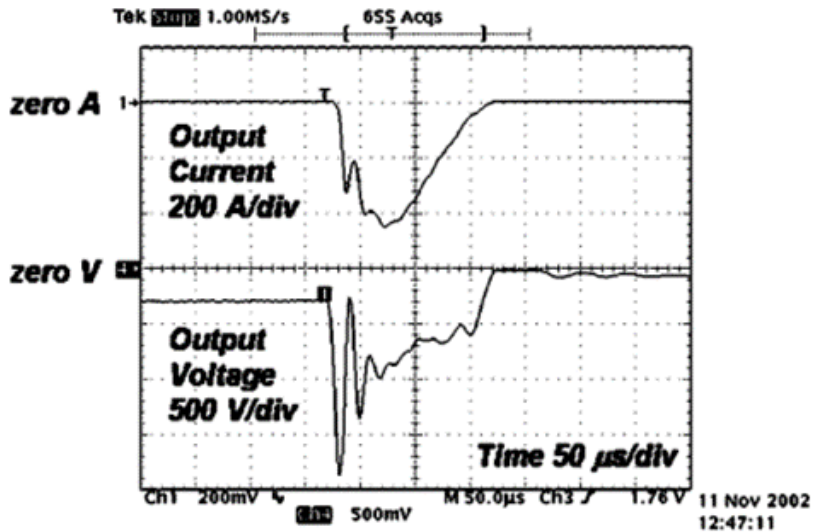


FIG. 5. Oscilloscope photo of normal operation into small magnetron.

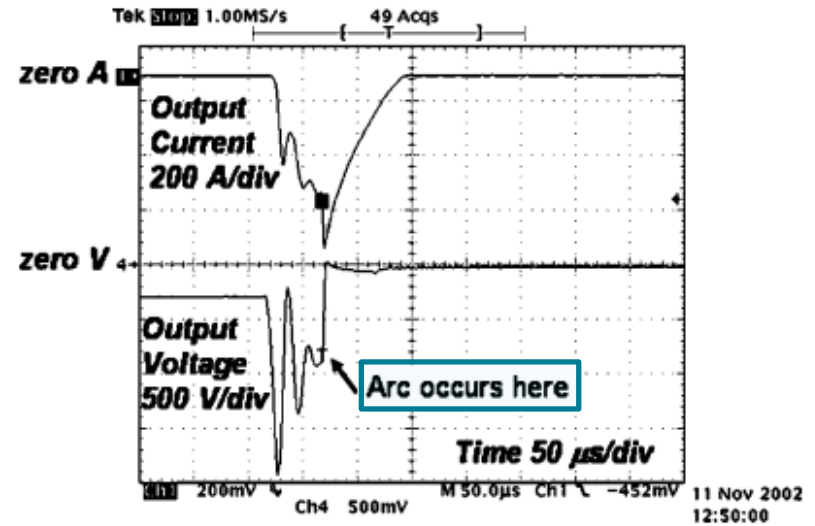
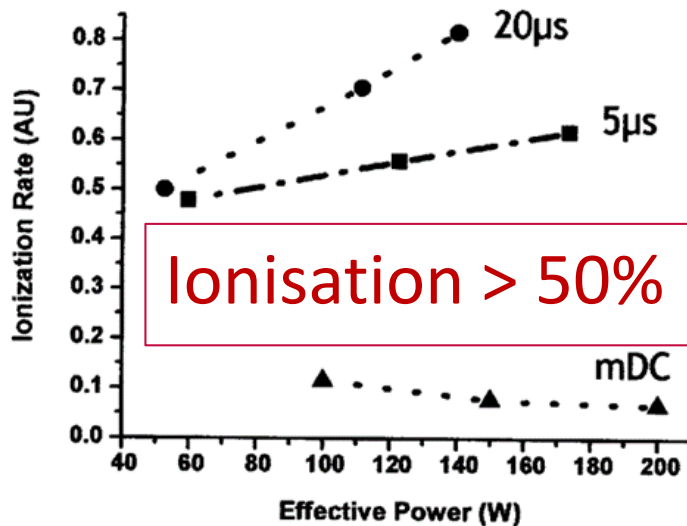


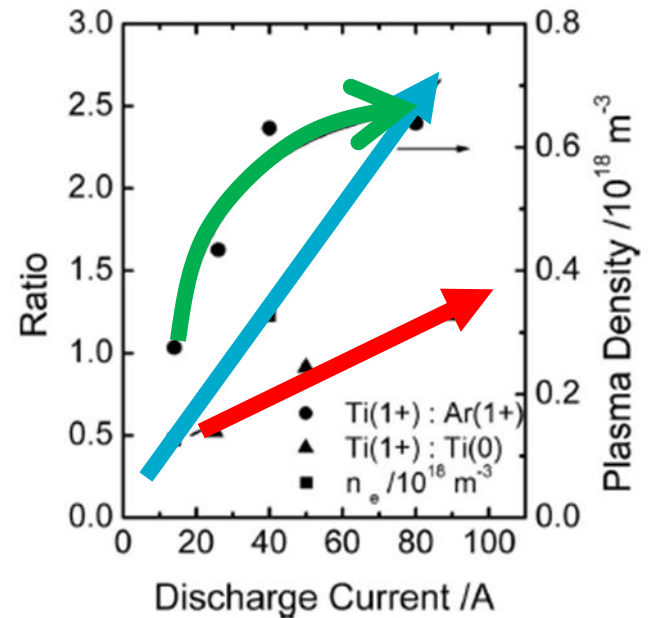
FIG. 6. Oscilloscope photo of arc handling into small magnetron.

Taux d'ionisation

Ionisation = fct I_d et P_d
 Plasma « métallique »



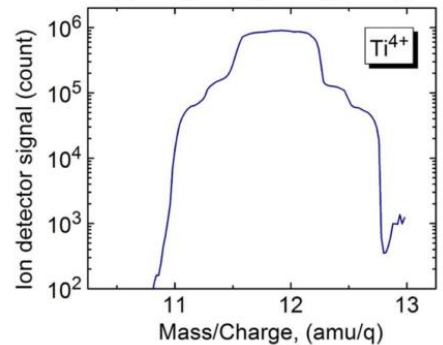
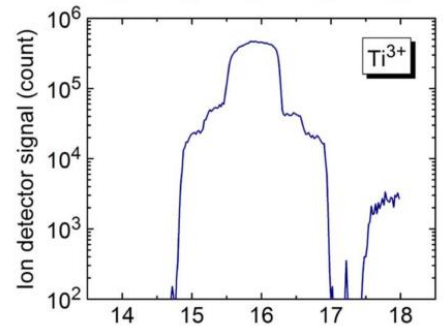
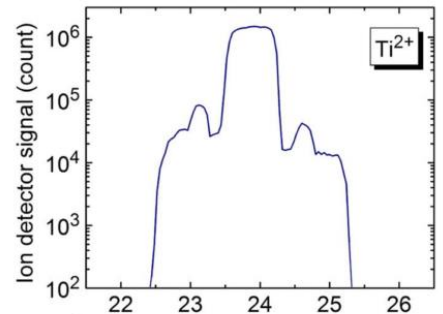
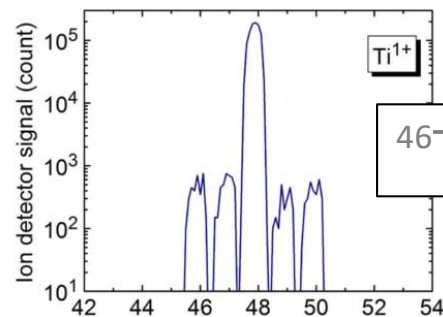
Konstantinidis et al, J. Appl. Phys.2006



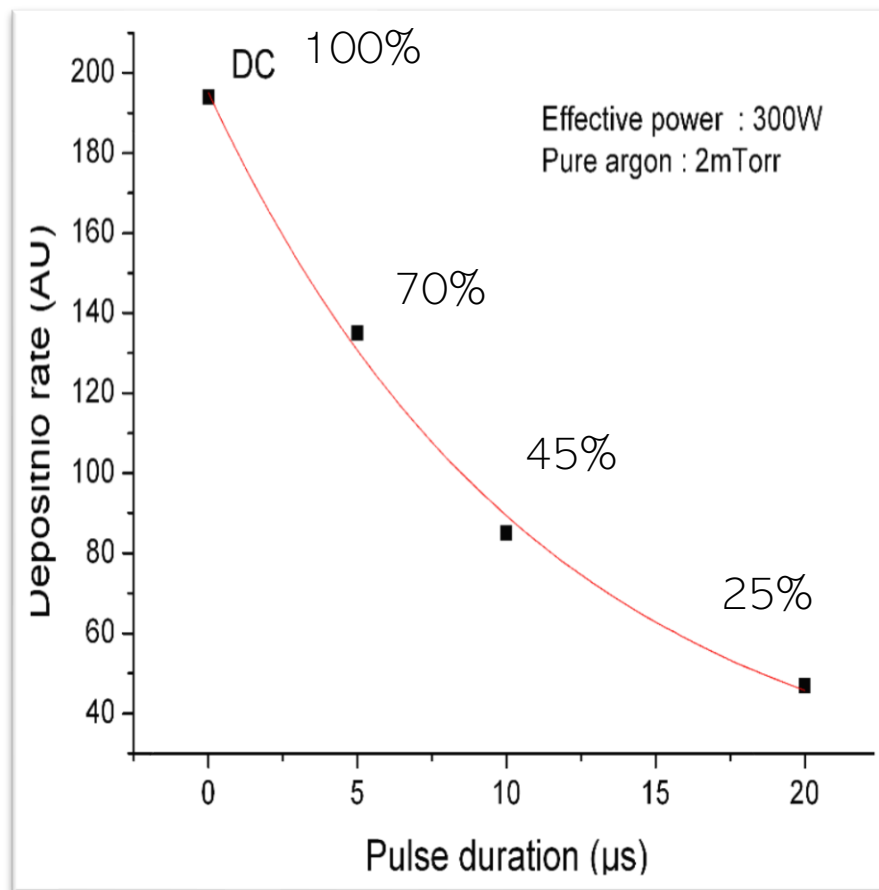
Ehiasarian, Konstantinidis et al, J. Appl. Phys.2008

Production d'atomes multiplement ionisés

Andersson et al. Appl. Phys. Lett. 2008



Vitesse de dépôt en fonction de la puissance appliquée (ou du taux d'ionisation)



S. Konstantinidis et al, J. Appl. Phys. (2006).

Décroissance de la vitesse de dépôt

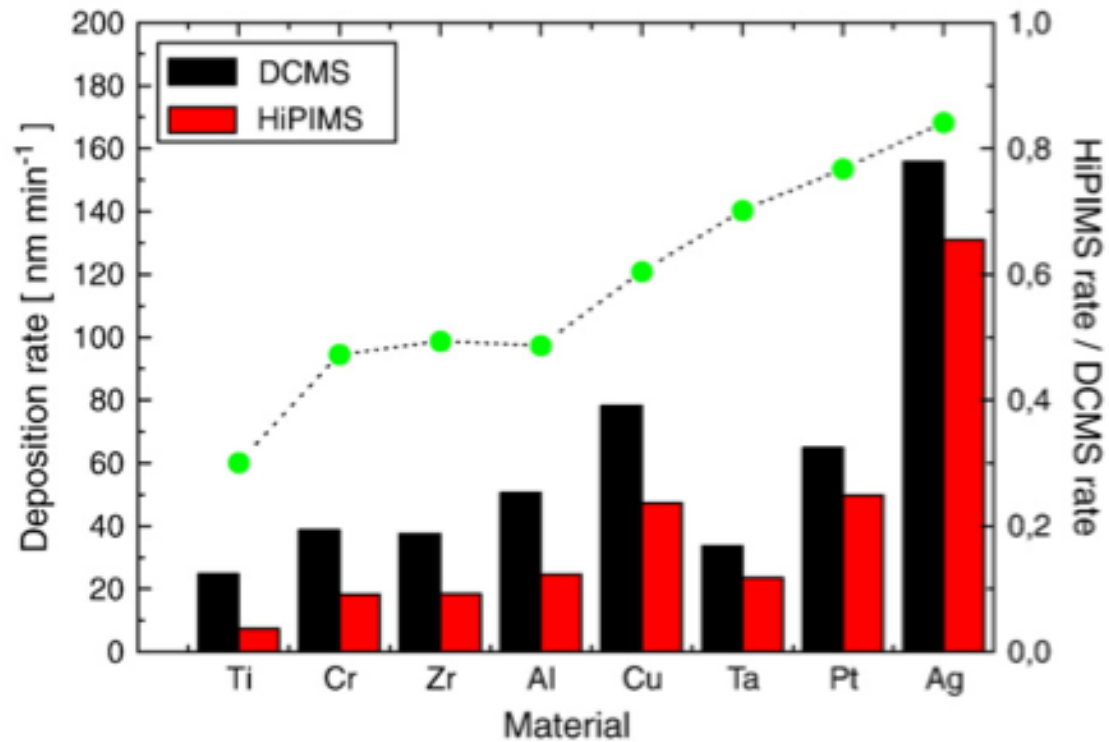


Fig. 1. The deposition rates for DCMS and HiPIMS discharges plotted as bars for the different target materials used (left axis). The deposition rate of HiPIMS over DCMS deposition rate is shown as a scatter plot (right axis).

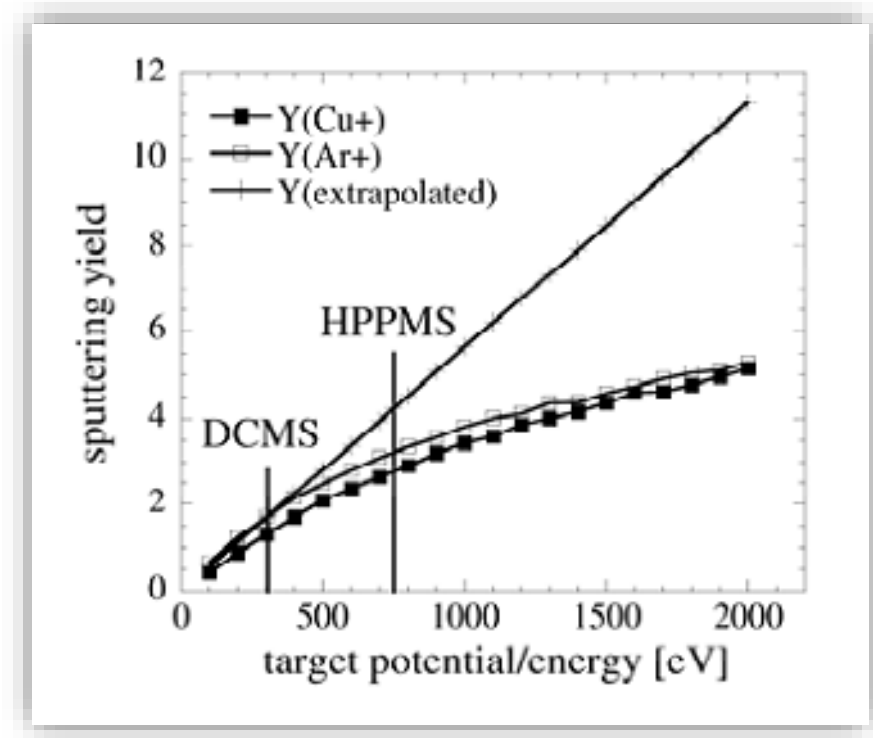
Samuelsson et al, Surf. Coatings Technol. (2010).

A black and white close-up photograph of a woman's face. She has a frustrated or angry expression, with furrowed brows and a slightly downturned mouth. Her hair is styled in a classic, voluminous fashion. The background is a plain, light color.

...problème !

Plusieurs causes...

- Rendement de pulvé n'est pas une **fonction linéaire** de la tension cathodique ¹
- **Eventuelle perte de puissance** dans l'étage d'impulsion
- Transport des espèces vers le substrat : importance du champ B ^{2 - 6}

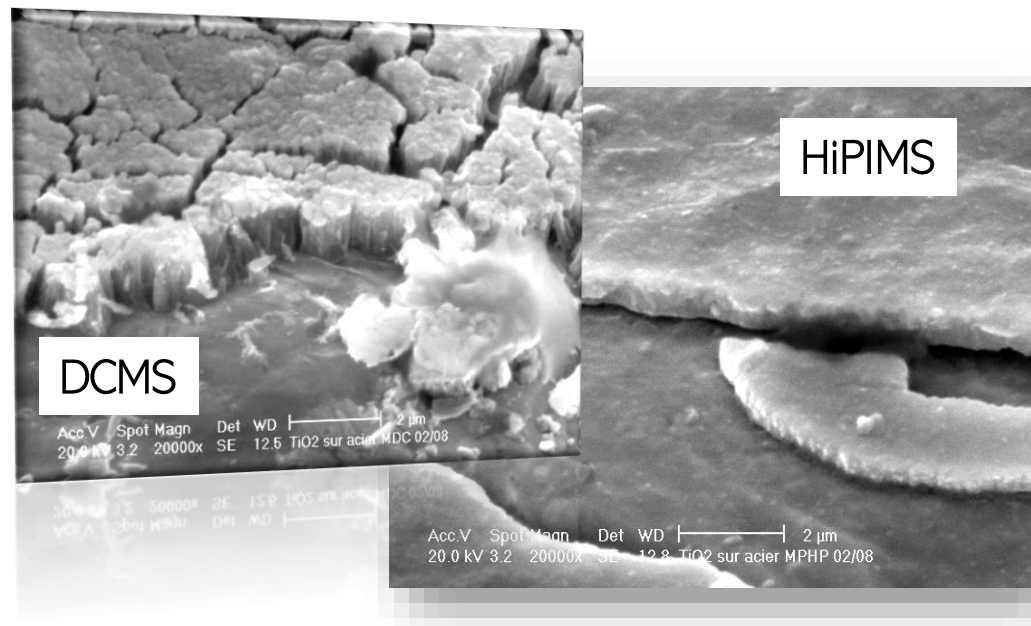


- 1) Emmerlich, Vacuum, 2008
- 2) Konstantinidis, Appl. Phys. Lett. 2006
- 3) De Poucques, Plasma Process. Polym., 2007
- 4) Lundin, Plasma Sources Sci. Technol., 2008
- 5) Bohlmark, Thin Solid Films, 2006
- 6) Mishra, Plasma Sources Sci. Technol., 2010

Comment mesure-t-on la vitesse de dépôt ?

- Augmentation de la **densité** des films alors qu'on mesure une épaisseur par profilométrie^{1, 2}
- Plasma métallique propice à l'**auto-pulvérisation**³⁻⁵

- 1) Konstantinidis, Thin Solid Films, 2006
- 2) Konstantinidis, J.Vac. Sci. technol. B, 2007
- 3) Konstantinidis, J. Appl. Phys., 2006
- 4) Sarakinos, J. Phys. D., 2008.
- 5) Alami, Appl. Phys. Lett., 2006



Régime d'auto-pulvérisation

Courant d'ions Ar^+ à la cathode

Rendement de pulvérisation suite à l'interaction de Ar^+ avec la cathode

$$Q \mu \int_0^t \frac{e}{e} I_{\text{G}^+} \left[Y_{(\text{M}-\text{G}^+)} + I_{\text{M}^+} \left(Y_{(\text{M}-\text{M}^+)} - 1 \right) \right] dt$$

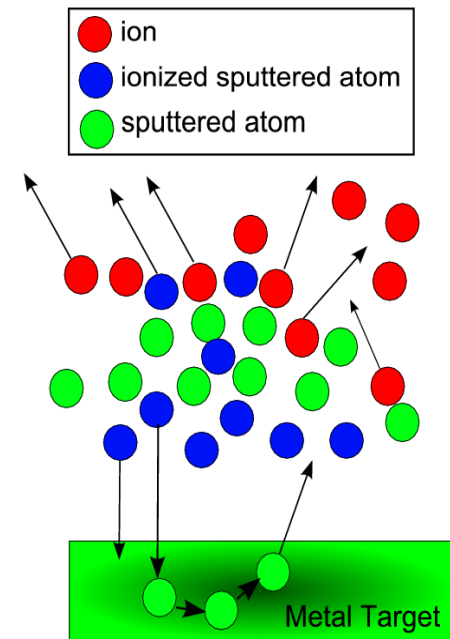
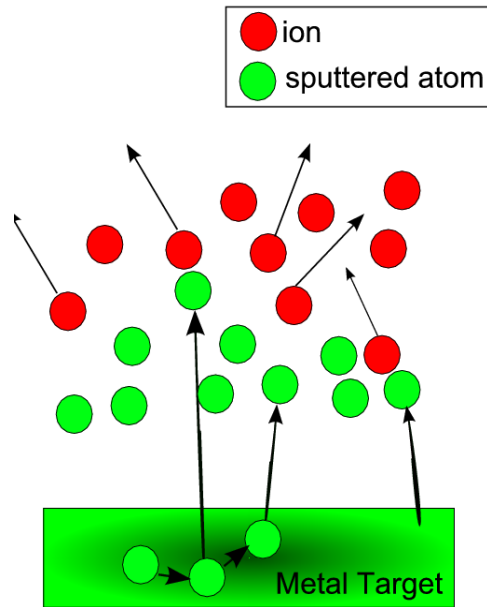
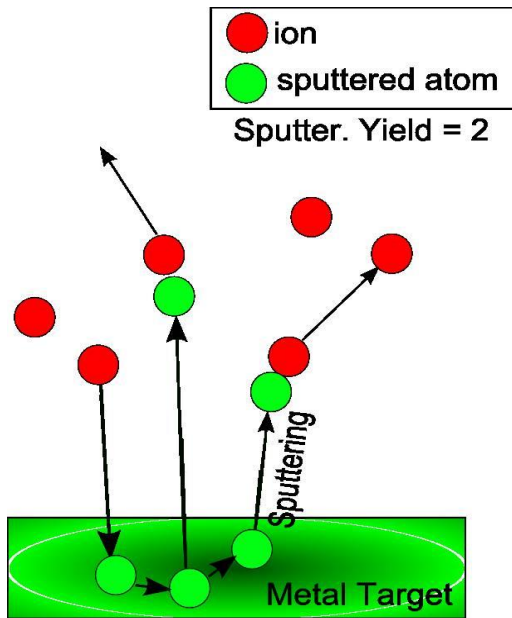
Taux de dépôt

Ar^+ sputtering

M^+ sputtering

Implantation de l'ion métallique dans cible :
Ne participe plus au dépôt

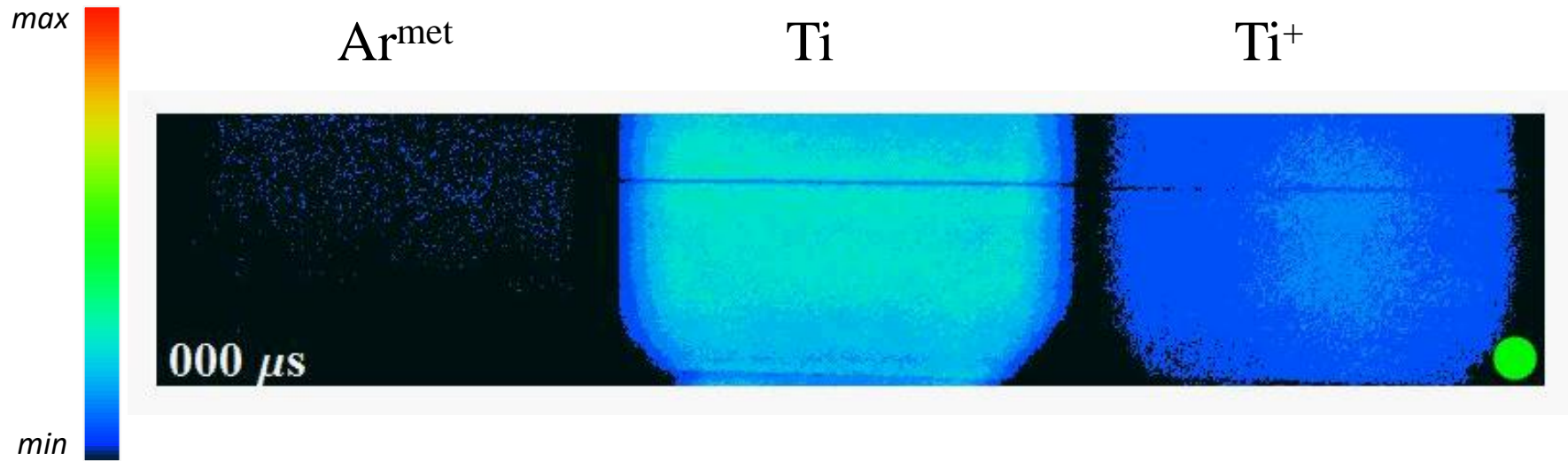
Le rôle du vent de pulvérisation



Hoffman, JVST A, 1985

Mise en evidence de la raréfaction

Pulse - 20 μ s
Period - 1 ms
Pressure - 20 mTorr



● - ON-time
● - OFF-time

Transport des espèces vers le substrat

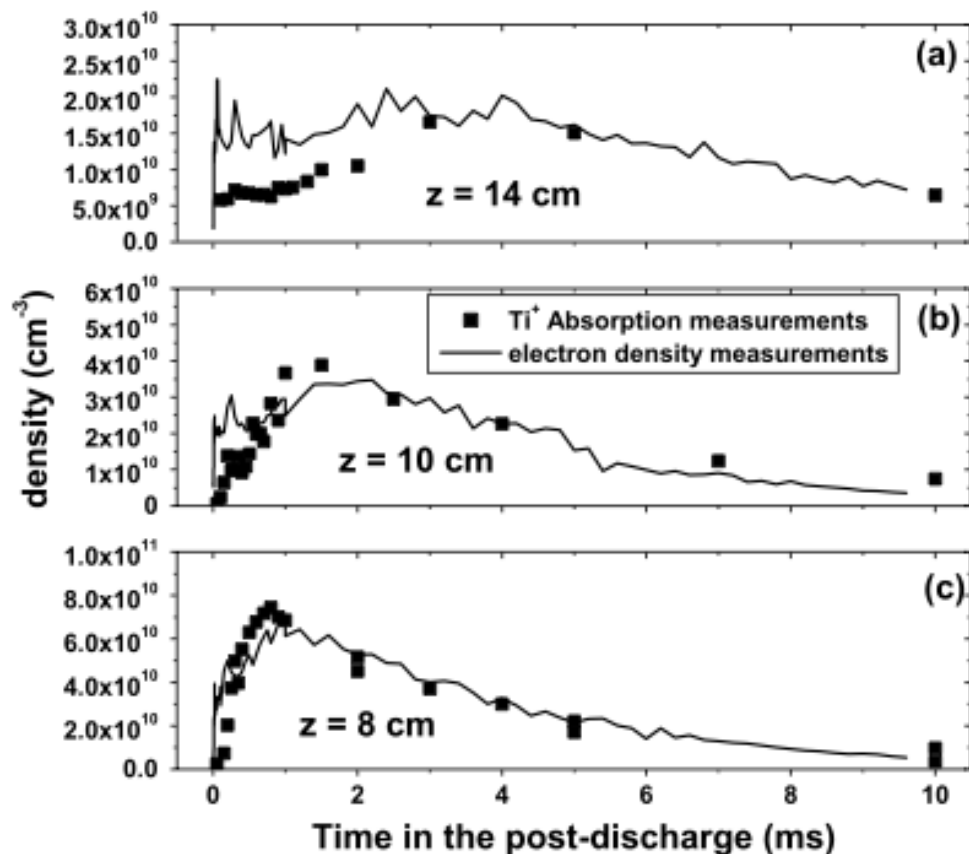
Espèces participant à la croissance du film = ions

Ces espèces doivent être transportées de la cible vers le substrat

Plusieurs paramètres influencent le transport

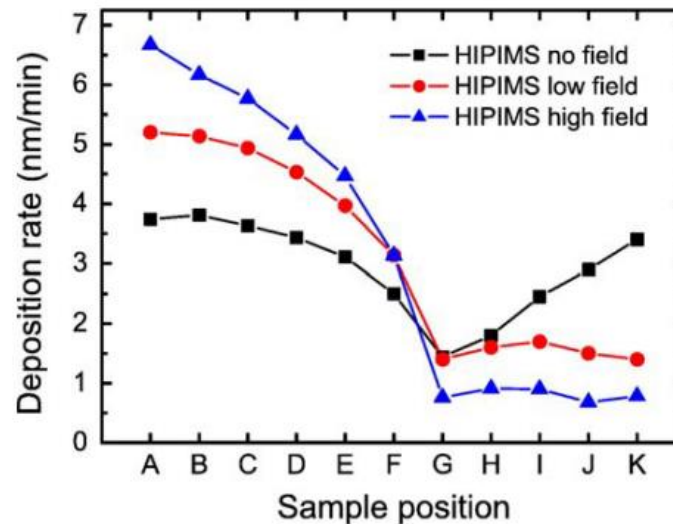
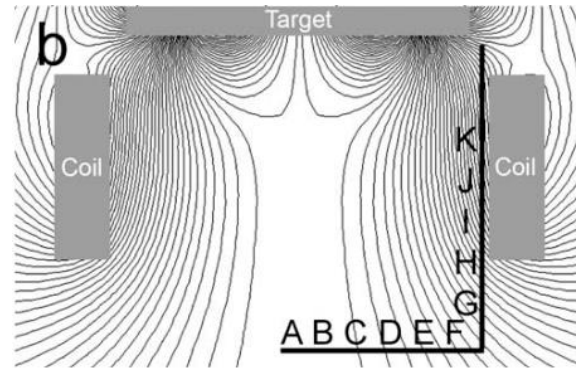
- Le champ magnétique
- L'éjection tangentielle des atomes
- La variation du potentiel plasma au cours du temps

Influence du champ magnétique



De Poucques et al, Plasma Sources Sci. Technol. (2006).

Effet du champ magnétique sur le transport des ions métalliques



Bohlmarm et al, Thin Solid Films 2006.

Ejection tangentielle des ions métalliques

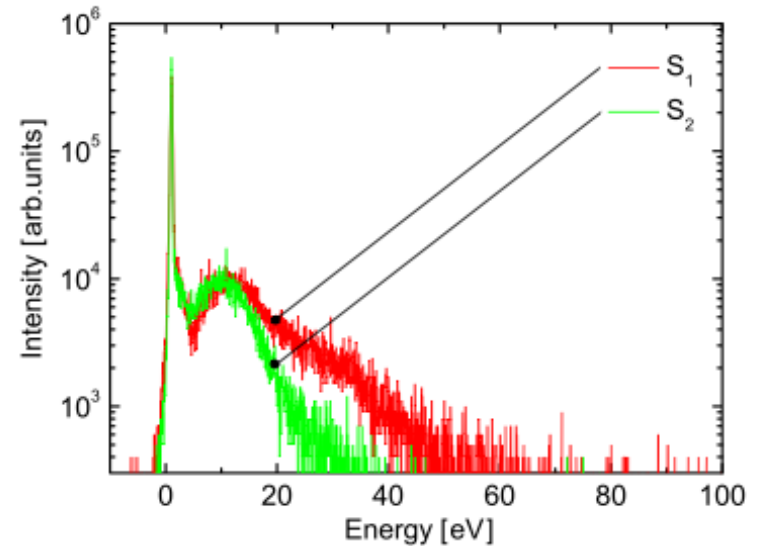
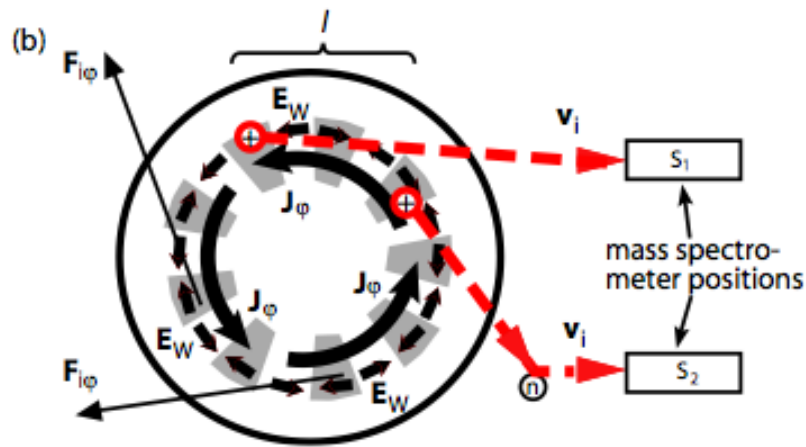


Figure 7. Comparison between Ti^+ ion energies from two different sides of the HiPIMS race track, S_1 and S_2 , as indicated in figure 1(b). The measurements were carried out at 0.80 Pa and $z = 0.01$ m using 500 V discharge pulses.

Instabilité du plasma

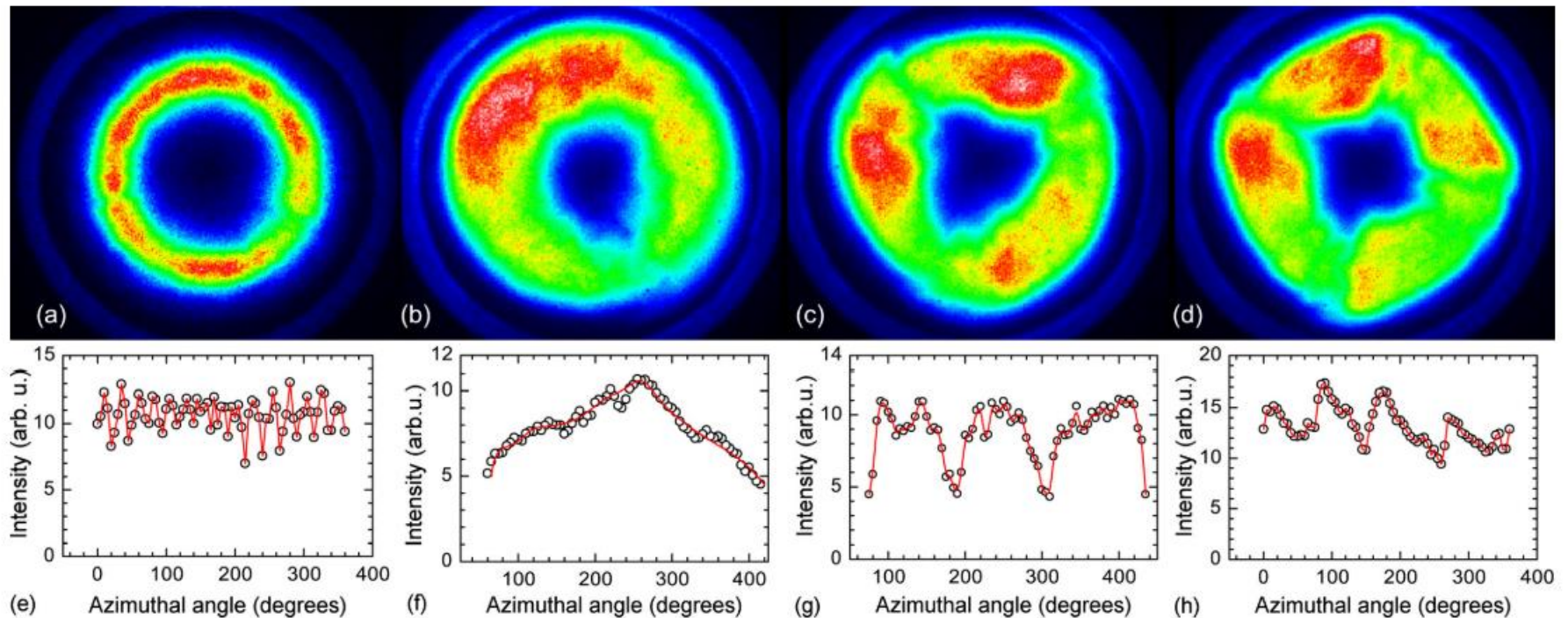


FIG. 2. (Color online) Influence of peak current density and Ar pressure on the discharge: (a) and (e) $J_d=0.75 \text{ A cm}^{-2}$, $P_{Ar}=0.17 \text{ Pa}$; (b) and (f) $J_d=7.5 \text{ A cm}^{-2}$, $P_{Ar}=0.17 \text{ Pa}$; (c) and (g) $J_d=7.5 \text{ A cm}^{-2}$, $P_{Ar}=1.0 \text{ Pa}$; and (d) and (h) $J_d=7.5 \text{ A cm}^{-2}$, $P_{Ar}=1.7 \text{ Pa}$. Upper row: fast photography frames (false color), lower row: total light intensity vs azimuthal angle corresponding to a circle along the centre of the racetrack. Angle is counted clockwise.

Instabilité du plasma

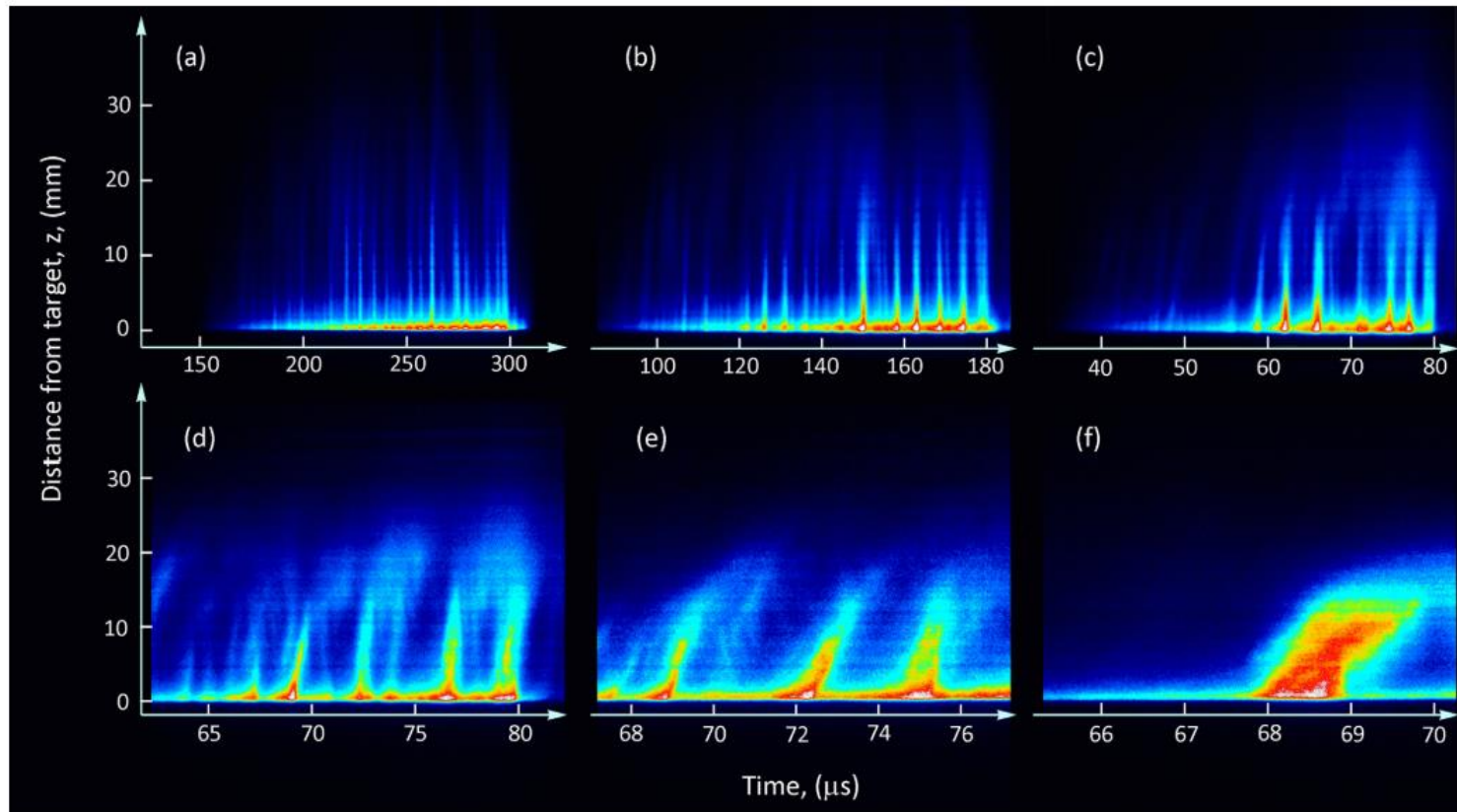
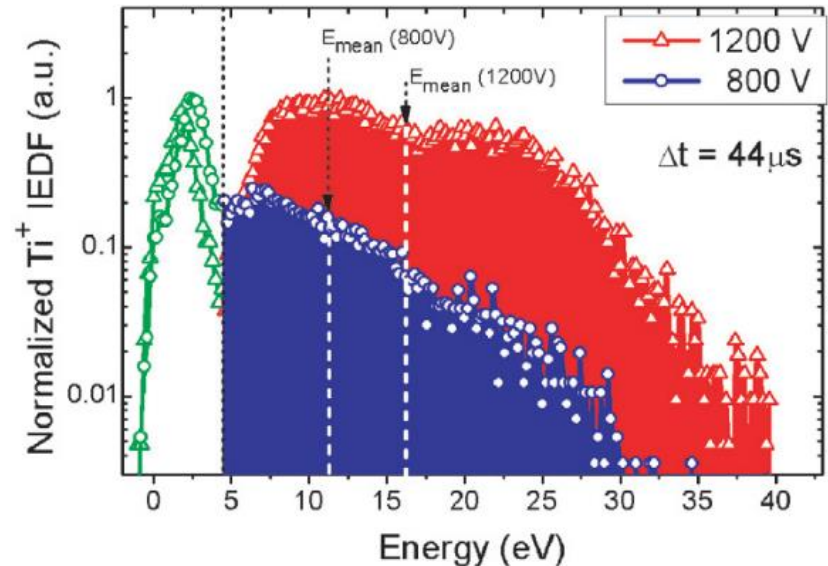
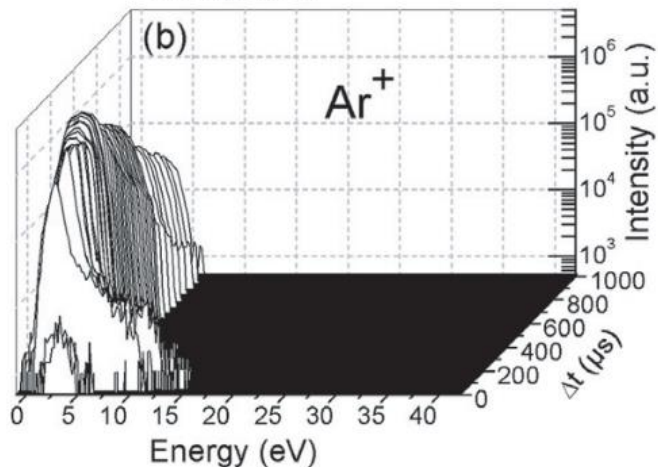
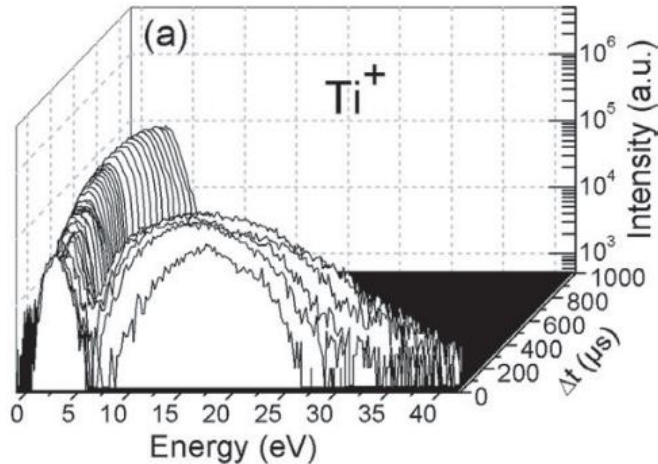


FIG. 1. Streak images of HiPIMS discharges (Ar 0.7 Pa, 50 pulses per second, 630–680 V, 500 A peak) using different pulse HiPIMS lengths and sweep durations: (a) 300 μs pulse, 200 μs sweep, (b) 180 μs pulse, 100 μs sweep, (c) 80 μs pulse, 50 μs sweep, (d) 80 μs pulse, 20 μs sweep, (e) 80 μs pulse, 10 μs sweep, and (f) 80 μs pulse, 5 μs sweep.

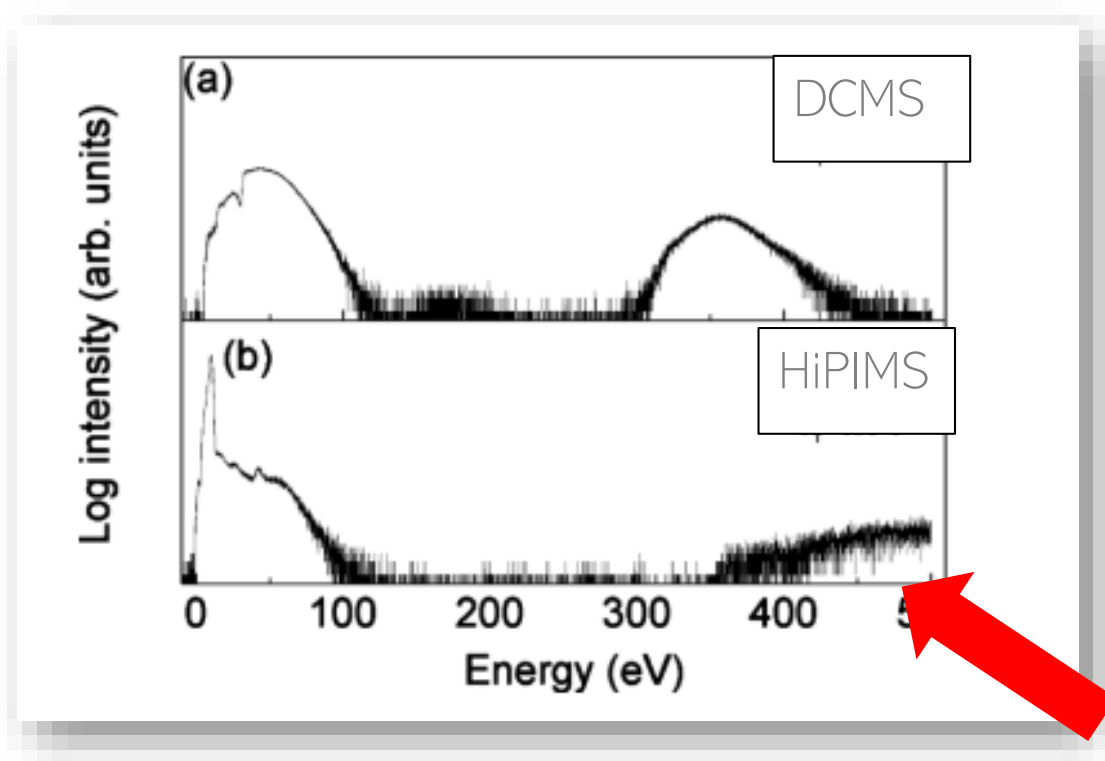
Ni et al. Appl. Phys. Lett., 2012

Fonction de distribution en énergie des ions métalliques



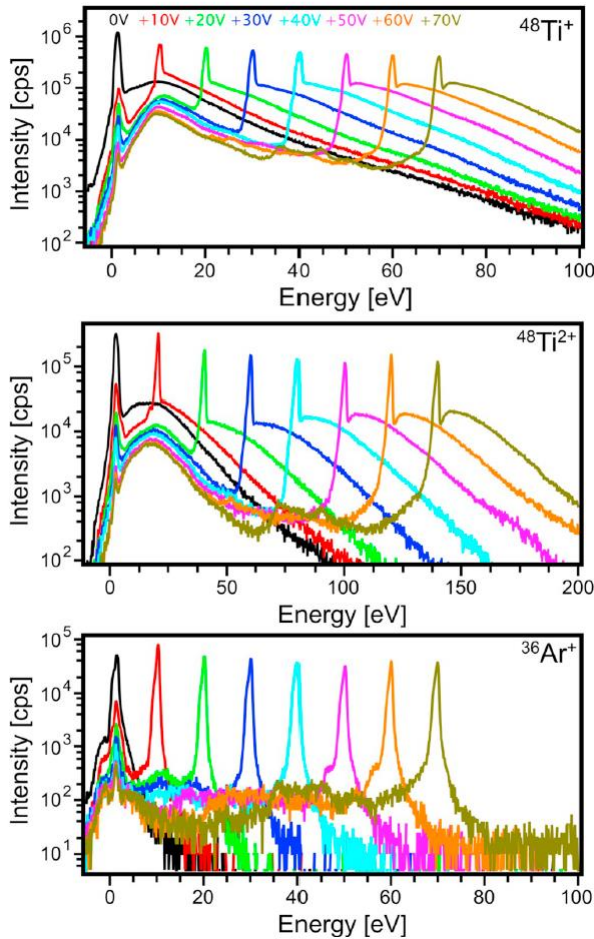
Palmucci, Konstantinidis et al, J. Phys D 2013

IEDF des ions O^-

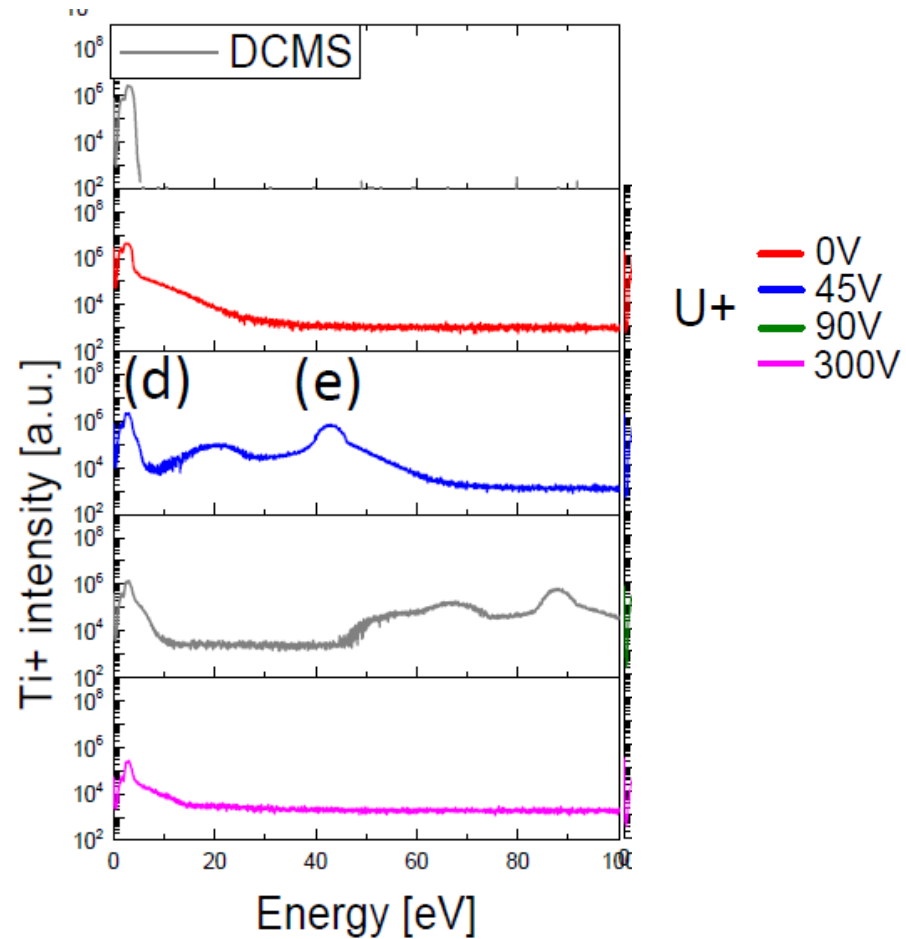


Sarakinos *et al*, J Phys D Appl Phys (2010)

IEDF pour l'HiPIMS bipolaire

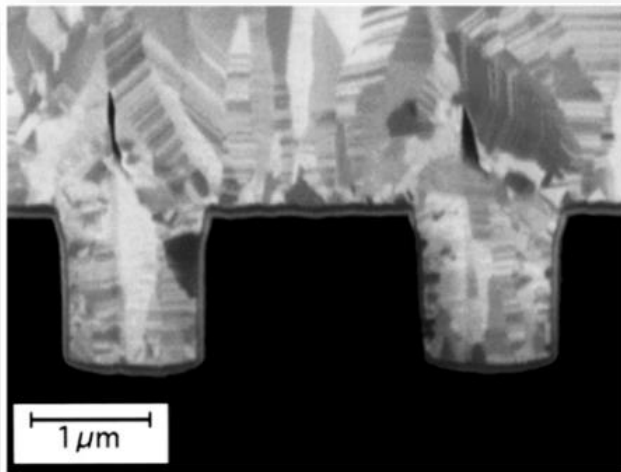


Keraudy et al Surf. Coat. Technol. 2018



M. Michiels, priv. comm. 2019

Dépôt conforme



Kouznetsov et al, Surf. Coat.
Technol., 1999

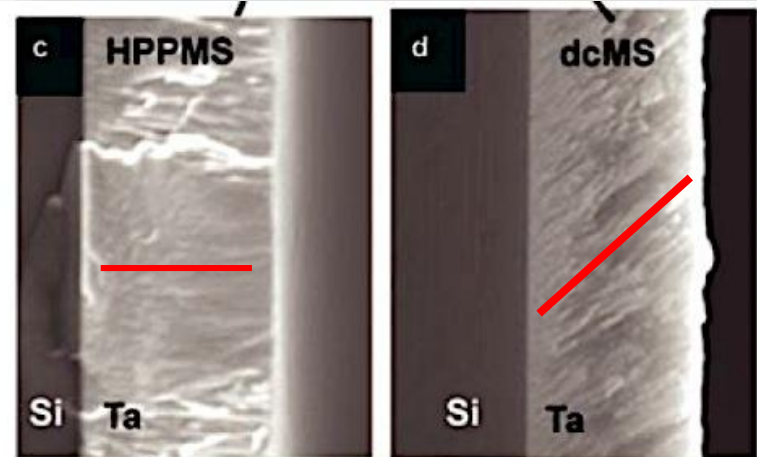


FIG. 1. SEM images of Ta films grown by HPPMS sputtering and dcMS near the opening of the trench (a) and (b), and approximately half way along the wall of the trench (c) and (d). Both films were grown at room temperature with a substrate bias of -50 V.

Alami et al, JVST A, 2007

Evolution microstructurelle: Effet du flux d'énergie normalisé

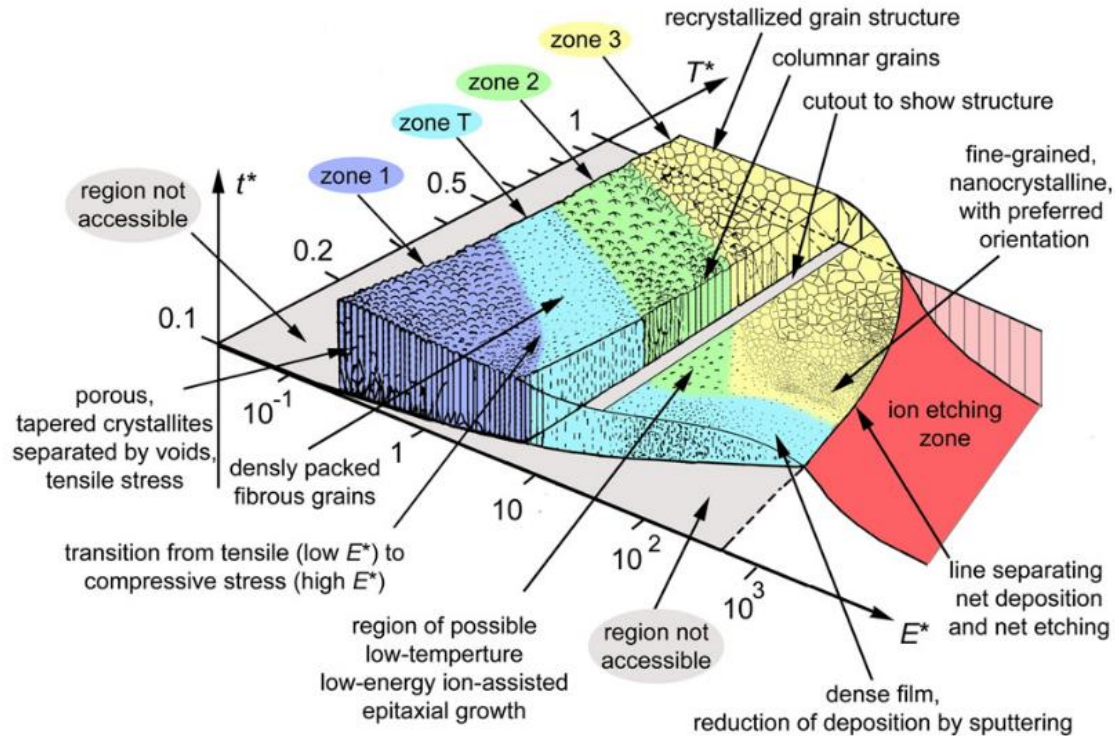
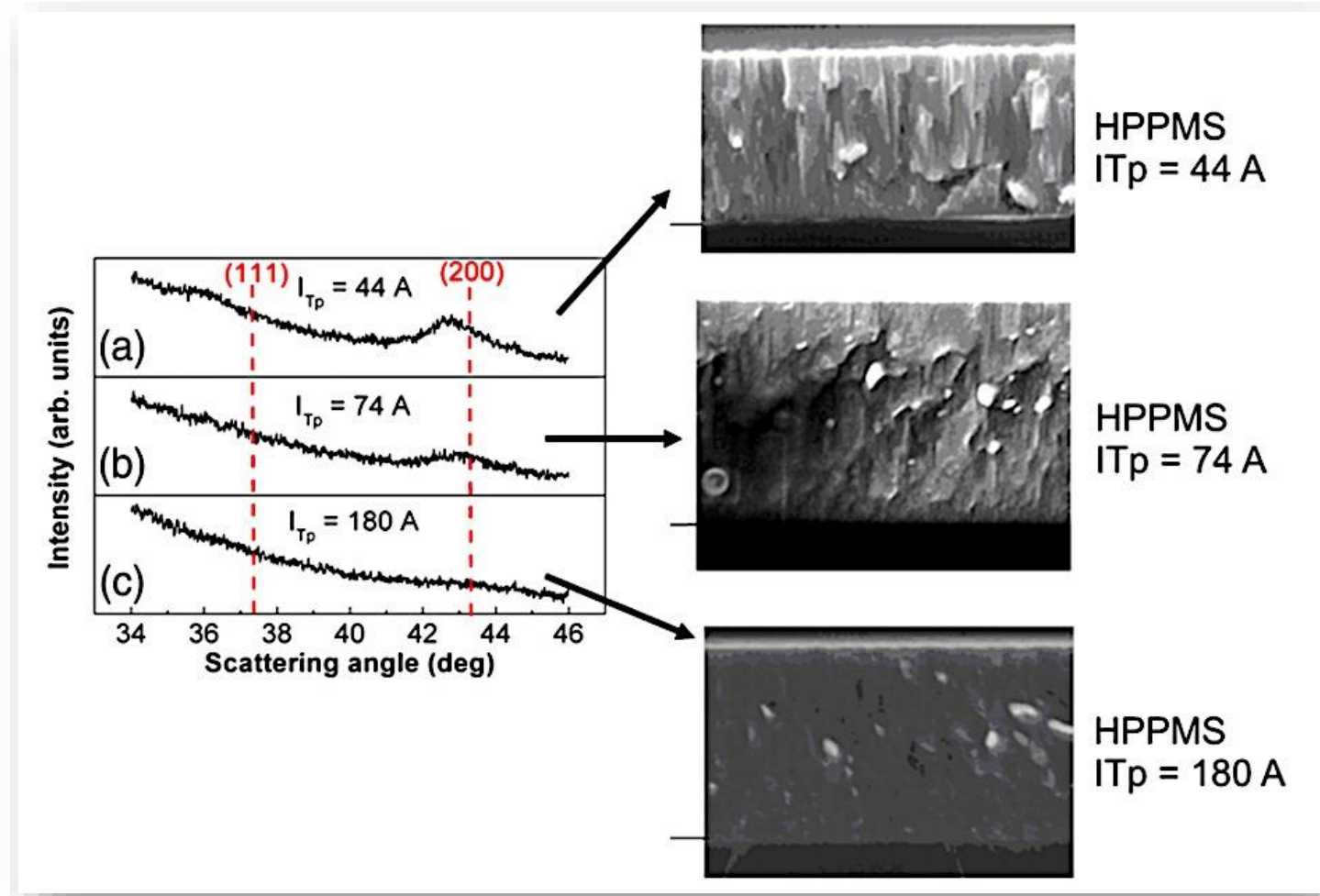


Fig. 1. Structure zone diagram applicable to energetic deposition; the generalized temperature T^* is given by Eq. (4), the normalized energy flux E^* by Eq. (5), and t^* represents the net thickness. The boundaries between zones are gradual and for illustration only. The numbers on the axes are for orientation only – the actual values depend on the material and many other conditions and therefore the reader should avoid reading specific values or predictions.

Modification microstructurelle (CrN) : influence du flux d'ions



Alami et al, J. Phys. D: Appl. Phys. 2009

Films minces de TiO_2

